

鉄筋コンクリート梁の主鉄筋応力について

日本大学工学部 正員 原忠勝

1. まえがき

斜めひびわれ発生が破壊の主要因となるせん断破壊形式には、大別して i) 剥離(せん断剥離), ii) 斜めひびわれ沿ってのせん断破壊(滑り破壊), iii) せん断接着破壊 等々の形式が挙げられる。¹⁾ これらへつづく破壊形式が報告されているにほかなく、わらず、鉄筋コンクリート梁の補強法についても、過去の方法に子孫場合が多いほうに思われる。又、主鉄筋量の算定についても、破壊は明らかにせん断破壊を起す場合についても、通常の曲げ理論による事が多々ある。しかしながら主鉄筋応力の変化の主鉄筋応力の變化は図-1に示す如くで、断面の拘束モーメントより求められるよりも大きな力を有していいる。これは鉄筋コンクリート梁のひびわれ発生によるもので、合へ機構の変化によるもので²⁾、つり合ひ機構については(近来、i)アーチモデル, ii)トラスモデル, iii)フレームモデル、等についての研究³⁾がなされていいる。しかし、斜めひびわれ発生後を想定したモデルとして取扱う点では、連續的な変化について検討する余地があるように思われる。こゝではKamiyama⁴⁾或いは光彈性モデル⁵⁾による鉄筋コンクリート梁の主応力線の様相よりアーチモデルを仮定した。しかし、主鉄筋応力の変化に着目したつり合ひ機構については既に、神山⁶⁾が報告⁷⁾をなしておるが、図-1に示す如く、主鉄筋応力は若干多目に算定されることは思われるが、こゝではこゝらについて考察検討を加えた。

2. 鉄筋コンクリート梁の主鉄筋応力

解析を簡単にすすめたために、図-2に示す如く、斜めひびわれ発生が予想される区間のコンクリートを除いて主鉄筋をタイヒしたタイドアーチを仮定する。こゝより引張筋としての主鉄筋の受けたり T_a は、アーチの軸線を任意の形状とし、2点ゲヤー方式点をタイヒし、水平反力 T_a を主鉄筋に負担せらる。この場合、主鉄筋の伸び δl は $\pm \theta \cdot z$, アーチ支点を可動とした場合に近似せらる。こゝより図-2はモルタルは外的に静定、内的には不静定未だ反り T_a を有する不静定構造となる。まず、主鉄筋の伸び δl は、主鉄筋の断面積を A_s 、弹性係数を E_s とすると、

$$T_a = A_s \cdot \sigma_s = A_s \cdot E_s \cdot \varepsilon_s = A_s \cdot E_s \cdot \delta l / l_0 \quad \cdots (1)$$

$$\therefore \delta l = T_a \cdot l_0 / A_s E_s \quad \cdots (2)$$

さて、主鉄筋はこの δl だけ伸びる。又、アーチ軸の長さを l とすれば、タイヒ受けたり引張り T_a の一般式は次式で表わされる。

Fig.-1 Load-Steel Strain

Test Beam ND-76-3-2.5
 $P_c = 3.0 \quad P_u = 9.45 \text{ ton}$

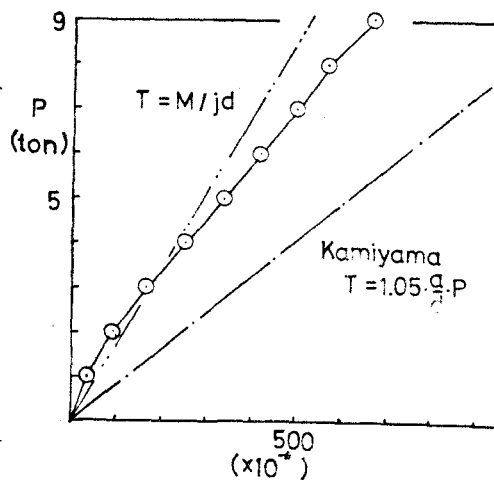
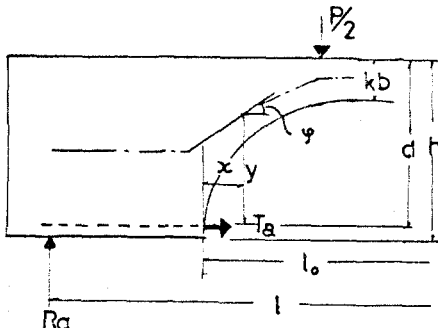


Fig.-2 Assumed Arch Model



$$T_a = \frac{\int_0^L \left(\frac{M_o}{E I} y + \frac{N_o}{E A} \cos \varphi + \frac{\sigma_o}{E} \sin \varphi + \epsilon \alpha \frac{1}{A} + \epsilon \alpha \cos \varphi \right) dx - S_a}{\int_0^L \left(\frac{y^2}{E I} + \frac{\cos^2 \varphi}{E A} + \frac{\sin^2 \varphi}{E A} \right) dx} \quad \dots \dots (3)$$

式(3)の S_a と、式(2)の σ の計算結果との比較、せん断力は正確さを考慮し、且つ温度変化の影響を割り除くこととしての主鉄筋の受けた T_a は、

$$T_a = \frac{\int_0^L \frac{M_o}{I_c \cos \varphi} y dx}{\int_0^L \frac{y^2}{I_c \cos \varphi} dx + \int_0^L \frac{\cos \varphi}{A_a} dx + \frac{L}{m \alpha s}} \quad \dots \dots (4)$$

$$\text{但し, } ds = dx / \cos \varphi \quad n = E_s / E_c$$

となる。しかし、鉄筋の初期引張力を算する内部アーチの形状を確定する事は困難な事であるので、本(4)を次式に書き換へん。

$$T_a = f(R, R_s) \cdot \frac{q}{d} \cdot P \quad \dots \dots (4')$$

これより、 $f(R, R_s)$ の関係を求めるために、梁の荷重一枚手引圖より求めた方程とした。試験体は丸鋼DN400mm²で、 $R_s = 1, 2, 3 \text{ kg}$, $a/d = 1.5, 2.5, 3.5, 4.5$, と $L=84$ 梁について求めた。

3. 結果と考察

実験結果は表(3) + (4) + (5) が示す如くである。

図形 (1970 Series)

$$R_s = 2.010, \quad f(R, R_s) = 0.0339/d + 0.60$$

$$R_s = 2.222, \quad f(R, R_s) = 0.0199/d + 0.65$$

$$R_s = 2.255, \quad f(R, R_s) = 0.65$$

主鉄筋応力 σ_s 主鉄筋量 A_s , $B N_s a/d = 8$, γ 变化率 β が与えられる。式(4)による計算はアーチの形状を知る事によって得られるが、それのがわれば形状は予測可能である。これらで併せて検討すれば良いと思われるが、形状についての別途公報告はな。

参考文献

- (1) B.Bresler et al; "Review of Concrete Beams Failure in Shear"; Proc. of ASCE, Vol. 78, No. ST-1 Feb., 1952, pp. 242-372
- (2) 鈴木一, "鉄筋の初期引張力とせん断破壊機構"コロナ出版
Vol. 6, No. 8 Aug., 1958, pp. 22-32
- (3) T.N.J. Han, ACI, 1764.

Fig.-3 $f(k, P_t)$ by Arch Model
and a/d Relation
 $P_t = 1\%$

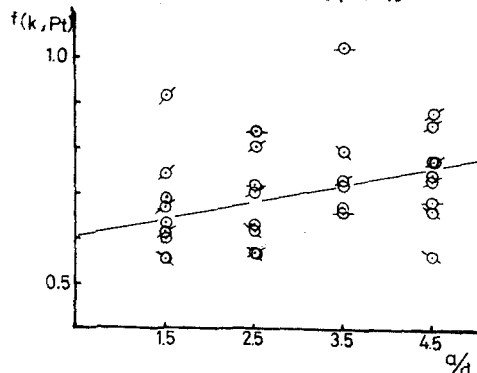


Fig.-4

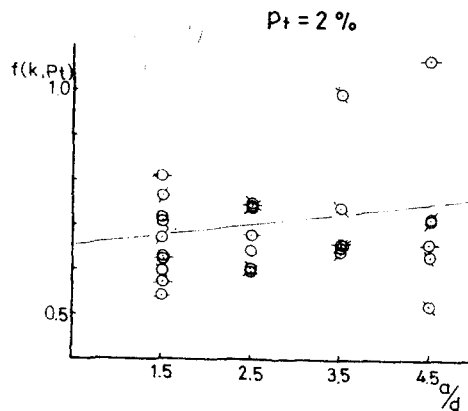


Fig.-5

